

## مدلسازی رفتار تنش و تغییر شکل دو نوع تیغه برش دروغگر استوانه‌ای در برداشت یونجه

یاسر کریمی<sup>۱</sup>، جلال خدائی<sup>۲</sup>، سمیرا زارعی<sup>۳اد\*</sup>

۱و۲و۳. گروه مهندسی بیوسیستم، دانشکده کشاورزی، دانشگاه کردستان

### چکیده

دروغگر استوانه‌ای که به آن دروغگر دوار با محور عمودی و یا دستگاه یونجه چین نیز می‌گویند، متداول‌ترین وسیله برای برداشت یونجه در ایران است. یکی از عوامل موثر در عملکرد دروغگر و میزان افت برداشت یونجه، طراحی تیغه برش است. در پژوهش حاضر دو نوع تیغه جدید شامل تیغه خمیده با لبه انحنادار و تیغه راست با لبه انحنادار برای دروغگر استوانه‌ای با هدف بهینه‌سازی عملکرد دروغگر استوانه‌ای در برداشت یونجه طراحی و مدل‌سازی شدند و رفتار تغییر شکل و تنش در آن‌ها تحت تأثیر میزان رطوبت‌های مختلف محصول برسی شد. بررسی نتایج نشان داد که اولاً میزان تغییر مکان و تنش بیشینه در تیغه راست با لبه انحنادار بیشتر از تیغه خمیده است. ثانیاً تیغه خمیده با لبه انحنادار وابستگی کمتری به میزان رطوبت محصول دارد و این موضوع دامنه کاربرد تیغه خمیده را بیشتر می‌کند. لذا نتایج این مطالعه، نشان‌دهنده برتری و اولویت تیغه خمیده بر تیغه راست در برداشت یونجه در رطوبت‌های مختلف است.

کلمات کلیدی: برداشت علوفه، خواص فیزیکی مکانیکی، رطوبت محصول، مقاومت برشی ساقه.

\*نویسنده مسئول Email: s.zareei@uok.ac.ir



## مدلسازی رفتار تنش و تغییر شکل دو نوع تیغه برش دروغگر استوانه‌ای در برداشت یونجه

### مقدمه

یونجه محبوب ترین و مهم‌ترین گیاه علوفه‌ای مورد کشت در بسیاری از نقاط دنیاست و به خاطر اهمیتش در بین سایر گیاهان علوفه‌ای، آن را ملکه گیاهان علوفه‌ای نامیده‌اند. عملکرد، کیفیت و بقای بالای یونجه، آن را به مهم‌ترین محصول علوفه‌ای دنیا بدل کرده است. همچنین یونجه پس از غلات مهم‌ترین محصول اقتصادی دنیاست [۱].

مدیریت برداشت اولین راهی است که تولید کننده می‌تواند توسط آن عملکرد، کیفیت تغذیه‌ای و بقای محصول را تحت تأثیر قرار دهد. عملکرد و کیفیت بالا به همراه بقای طولانی بوته، اهداف اصلی تولید یونجه هستند. روش برداشت یونجه تا حد زیادی عملکرد و کیفیت یونجه را تحت تأثیر قرار می‌دهد. دروغگر استوانه‌ای که به آن دروغگر دوار با محور عمودی و یا دستگاه یونجه چین نیز می‌گویند، متداول‌ترین وسیله برای برداشت یونجه در ایران است. این دروغگرها معمولاً شامل ۲، ۳ و یا ۴ استوانه عمودی با قطرهای یکسان هستند که با سرعتی حدود ۱۵۰۰ تا ۲۰۰۰ دور در دقیقه می‌چرخند [۲].

یکی از عوامل موثر در عملکرد دروغگر و میزان افت برداشت یونجه، طراحی تیغه برش است. در پژوهشی تأثیر سه نوع تیغه شامل تیغه راست و بدون زاویه، تیغه راست با زاویه تیزی ۳۰ درجه و تیغه انحنایدار مضرس بر عملکرد دروغگر مورد بررسی قرار گرفت [۳]. تأثیر سه نوع تیغه شامل تیغه راست و بدون زاویه، تیغه راست با زاویه تیزی ۳۰ درجه و تیغه انحنایدار مضرس را بر عملکرد دروغگر بررسی کردند. نتایج حاصل از مطالعه آنها نشان داد که تیغه انحنایدار مضرس، تیغه زاویه‌دار و سپس تیغه راست به ترتیب بیشترین ظرفیت مزرعه‌ای را داشتند.

طباطبایی کلور و همکاران [۴] با انتخاب سه سطح ۲۵، ۳۰ و ۳۵ درجه برای زاویه تیزی تیغه دریافتند که اثر تیزی تیغه روی نیروی مقاومت برشی ساقه برج در سطح ۱٪ معنی‌دار بوده است. خزائی و همکاران [۵] اثرات زاویه تیزی تیغه را در چهار سطح ۱۵، ۱۹، ۲۳ و ۲۷ درجه بر مقاومت برشی ساقه گل پیرتروم بررسی نمودند و بیان کردند که اثر زاویه تیزی تیغه بر مقاومت برشی ساقه در سطح ۱٪ معنی‌دار بوده و با افزایش زاویه تیزی تیغه مقاومت برشی افزایش پیدا می‌کند. شاعع کم لبه تیغه و یا ضخامت کوچک لبه، به طور معمول، هر دو نیروی برشی و انرژی برشی را کاهش می‌دهد.

محمدی الستی و همکاران [۶] به طراحی و ارزیابی تیغه دروغگر بشتابی پرداختند و به این نتیجه رسیدند که مقدار نیرویی که تیغه با سرعت دورانی ۳۰۰۰ دور دقیقه می‌تواند تحمل کند تقریباً ۲/۵ برابر مقدار نیروی مقاومت برشی لایه علوفه (یونجه پرپشت) می‌باشد. هدف از انجام تحقیق حاضر، طراحی دو نمونه تیغه جدید دروغگر استوانه‌ای برای برداشت یونجه و سپس بررسی رفتار تنش و تغییر شکل آنها در رطوبت‌های مختلف می‌باشد.

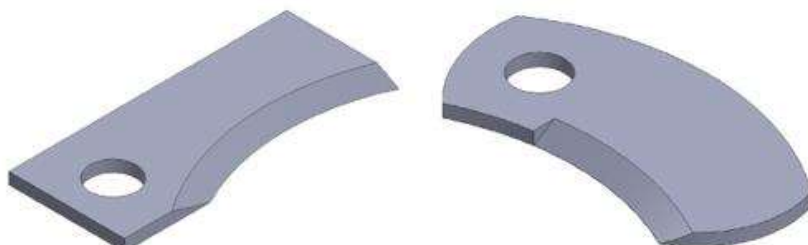
### مواد و روش‌ها

#### مدل‌سازی اولیه تیغه‌ها

دنیای امروز دنیای گستردگی از کاربرد نرم‌افزارهایی است که بر اساس افزایش سرعت در انجام محاسبات عمل می‌کنند؛ به طوری که در چند سال اخیر تحولات بسیاری در زمینه‌های مختلف مهندسی به وجود آورده‌اند. این نرم‌افزارها در سه دسته طراحی به کمک رایانه (CAD)، مهندسی به کمک رایانه (CAE<sup>۱</sup>) و ساخت به کمک رایانه (CAM<sup>۲</sup>) دسته‌بندی می‌شوند. واژه CAD یعنی طراحی به کمک (CAD)،

<sup>1</sup> Computer Aided Design

رايانه، ابتدائي ترين مرحله برای ساخت يك قطعه و معرفی آن به يك رايانيه است. اين کار توسط يك اپراتور (کاربر) صورت می گيرد که با طراحی سه بعدی توسط نرم افزارهای خاص خود انجام می شود و یا حتی توسط اسکن سه بعدی اجسام صورت می گيرد. اگر قطعه پیچیده باشد هر قسمت آن جداگانه طراحی و سپس مونتاژ می شود. SolidWorks يکی از محصولات شناخته شده و قدرتمند شرکت فرانسوی Dassault Systèmes است که در دسته نرم افزارهای CAD قرار می گيرد. کاربری SolidWorks نسبت به نرم افزارهای مشابه در زمينه CAD، ساده تر و سریع تر است و می تواند برای شروع يادگیری طراحی به كمک رايانيه، بهترین گزینه باشد. در تحقيق حاضر برای SolidWorks 2016 استفاده شد. مدل ايزومetric تیغه های طراحی شده در شکل (۱) نشان داده شده است.



شکل ۲-۱- مدل ايزومetric تیغه های طراحی شده در وگر

### مقاومت برشی ساقه

شاخص هایی که رفتار برشی مواد گیاهی را تعیین می کنند، عبارتند از: حداکثر مقاومت برشی و انرژی برشی مخصوص. حداکثر مقاومت برشی ساقه از رابطه (۱) قبل محاسبه است [۷].

$$\tau_s = \frac{F_{\max}}{A} \quad (1)$$

که در آن  $\tau$  حداکثر مقاومت برشی (Mpa)،  $F_{\max}$  حداکثر نیروی برشی (F) و A سطح مقطع ساقه در صفحه برش ( $m^2$ ) است. انرژی برشی مخصوص ساقه نیز با تعیین مساحت زیر منحنی نیروی برش - جابجایی و توسط رابطه (۲) تعیین می شود [۷].

$$E_s = \frac{1}{A} \int F dx = n' \frac{f}{A} \quad (2)$$

که در آن  $E_s$  انرژی برشی مخصوص (J)، F نیروی برش (N)، x جابجایی تیغه (m)، n تعداد واحدهای تقسیم شده زیر منحنی نیرو - جابجایی و f فاکتور مقیاس سطح زیر منحنی است [۷].

### مدل سازی المان محدود تیغه های در وگر

#### تئوري شکست

تئوري شکست<sup>۳</sup>، شرایط شکست جامدات بر اثر اعمال بارهای خارجی را پيش بیني می کند. به طور کلی مواد در هنگام شکست (با توجه به شرایط موجود مانند شرایط دمایی، نرخ بارگذاری و حالت تنش) یا به صورت شکل پذیر یا به صورت ترد و شکننده رفتار می - کنند. در علوم مهندسی تئوري شکست در قالب معیارهای مختلفی بيان می شود که هر يك از آنها برای مواد مشخصی اعتبار دارند.

<sup>2</sup> Computer Aided Engineering

<sup>3</sup> Computer Aided Manufacturing

<sup>4</sup> Failure Theory



معیارهای شکست، توابعی در فضای تنش و کرنش هستند که حالت‌های شکست و عدم شکست را از یکدیگر متمایز می‌کنند. بیان یک تعريف فیزیکی دقیق برای تعیین دقیق حالت شکست به صورت فیزیکی و با استفاده از اعداد و ارقام به راحتی ممکن نیست. بنابراین معیارهای شکست به صورت توابع ریاضی در فضای تنش و کرنش برای مواد مختلف تعریف می‌شوند. برای پیش‌بینی شکست مواد شکل پذیر و شکننده در بسیاری از موارد از معیارهای تجربی استفاده می‌شود [۸].

معیارهای پیش‌بینی شکست مواد شکل پذیر معمولاً با عنوان معیارهای تسلیم<sup>۵</sup> شناخته می‌شوند که متداول‌ترین انواع این معیارها به شرح زیر هستند [۸]:

۱- معیار ترسکا<sup>۶</sup> یا تنش برشی ماکریم

۲- معیار تسلیم ون میسز<sup>۷</sup> یا معیار چگالی انرژی کرنش اعوجاج

۳- معیار تسلیم گورسون<sup>۸</sup> برای فلزات حساس به فشار

۴- معیار تسلیم هاسفورد<sup>۹</sup> برای فلزات

۵- معیار تسلیم هیل<sup>۱۰</sup>

### معیار تسلیم ون میسز

این معیار در مورد ارزیابی نقطه تسلیم در المان‌هایی که تحت تنش‌های ترکیبی نرمال و برشی قرار دارند، به کار می‌رود. این معیار تنش‌های اصلی را بر اساس دایره موهر<sup>۱۱</sup> محاسبه می‌کند. به این صورت که تنش‌های اصلی در رابطه ون میسز (رابطه ۳) قرار داده می‌شوند و چنانچه معیار تنش ون میسز از مقدار تنش تسلیم ماده کمتر باشد به این معنی است که شکست رخ نمی‌دهد؛ ولی اگر مقدار این معیار از تنش تسلیم ماده بیشتر باشد، به معنی رسیدن المان به نقطه‌ی تسلیم است [۸].

$$\sigma_v = \left( \frac{1}{2} [(\sigma_{11} - \sigma_{22})^2 + (\sigma_{22} - \sigma_{33})^2 + (\sigma_{33} - \sigma_{11})^2] + 3(\sigma_{12}^2 + \sigma_{23}^2 + \sigma_{31}^2) \right)^{\frac{1}{2}} \quad (3)$$

که در آن  $\sigma_{33}, \sigma_{22}, \sigma_{11}$  به ترتیب تنش نرمال در راستای  $xz$ ،  $yz$  و  $xy$  و  $\sigma_{12}, \sigma_{23}, \sigma_{31}$  به ترتیب تنش برشی در صفحات  $xy, yz, zx$  هستند.

### تعريف مسئله المان محدود

مهندسی به کمک رایانه به این معنی است که تمامی تحلیل‌های استاتیکی و دینامیکی روی قطعات شبیه‌سازی شده در رایانه انجام می‌گیرد. در این مرحله توزیع تنش، تغییر مکان و در مواردی دما در حین عملکرد قطعه و مجموعه به دست می‌آید. Ansys یک نرم‌افزار قدرتمند و شبیه‌ساز می‌باشد که قدرت انجام یک طراحی معتبر و استاندارد را به مهندسان می‌دهد تا ایده‌هایشان را راحت‌تر و بهتر در رایانه پیاده کنند. این نرم‌افزار یک نرم‌افزار چندگانه است و قابلیت تحلیل مسائل گوناگون و متنوع مهندسی از قبیل حرارت، سیالات، مغناطیس،

<sup>5</sup> Yield Criteria

<sup>6</sup> Tresca

<sup>7</sup> Von Mises

<sup>8</sup> Gurson Yield Criterion

<sup>9</sup> Hosford Yield Criterion

<sup>10</sup> Hill

<sup>11</sup> Mohr Circle



الکترواستاتیک، الکتریسیته، سازه، ارتعاشات و استاتیک را دارد [۹]. در مطالعه حاضر برای تحلیل تنش وارد بر تیغه‌های دروغ از نرم افزار SolidWorks2014 استفاده شد. برای این منظور در نرم افزار مذکور از قسمت Static Structural استفاده شد. مدل طراحی شده در Ansys با استفاده از طریق دستور Import به برنامه Ansys وارد شد.

### تعريف خواص فیزیکی و مکانیکی مدل

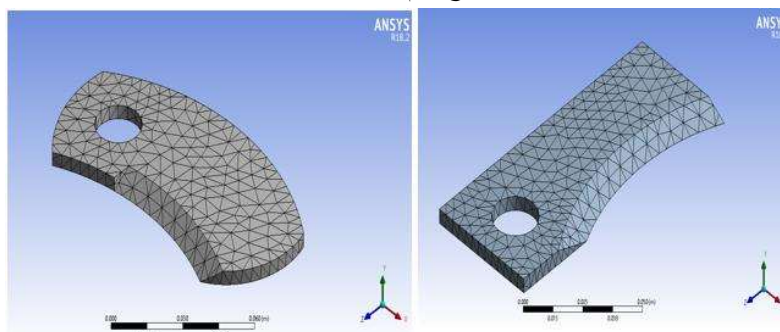
بعد از ورود مدل تیغه به نرم افزار، باید خواص فیزیکی و مکانیکی مدل در نرم افزار تعریف شود. برخی خواص مکانیکی و فیزیکی تیغه‌های مورد بررسی در جدول (۱) آرائه شده است. از این خواص برای مدل‌سازی المان محدود تیغه‌های دروغ استفاده شد.

جدول ۱- خواص مکانیکی و فیزیکی تیغه‌های مورد بررسی

تجددی (kg/m <sup>3</sup> )	مدول الاستیسیته (GPa)	ضریب پواسون	مدول برشی (GPa)	تنش نهایی (MPa)	تنش تسليم (MPa)
۷۸۵.	۲۰۰	۰/۳	۷۶/۲	۴۶۰	۲۵۰

### مش بندی مدل تیغه‌ها

در ادامه، تیغه‌های مدل‌سازی شده در محیط Ansys مش بندی یا شبکه بندی، به تبدیل جسم یا مدل به تقسیمات کوچک‌تر، محدود و منظم گفته می‌شود. شبکه بندی از مهم‌ترین مراحل برای حل مسائل است. برای ایجاد یک شبکه مناسب از سلول‌ها باید نسبت به روش‌های موجود در شبکه بندی دانش کافی داشت. انواع مش بندی در Ansys، روش‌های C-, O-grid، Cartesian، O-grid، Delaunay، Hybrid، Y-grid، OCtree، Delaunay، Hybrid استفاده شد. کل گره‌ها و المان‌های مورد استفاده برای تیغه نوع اول به ترتیب ۲۶۲۶ و ۱۱۷۷ و برای تیغه نوع دوم به ترتیب ۲۵۲۹ و ۱۱۶۷ می‌باشد.



شکل ۲- مدل مش بندی شده تیغه‌های دروغ (راست: تیغه مدل اول و چپ: تیغه مدل دوم)

### اعمال تنش به تیغه‌ها

با توجه به اینکه تیغه‌های مورد نظر برای برش ساقه یونجه طراحی شدند و میزان نیرو و تنش اعمالی به تیغه، حداقل نیرو و تنش برای برش ساقه یونجه است، لذا برای مدل‌سازی رفتار تیغه‌ها در طی فرآیند برش ساقه، بیشینه تنش برشی لازم برای بریدن ساقه بر تیغه‌ها اعمال شد. به منظور اعمال تنش برشی به تیغه‌ها از نتایج تحقیق (2008) Galedar *et al.* استفاده شد. ابعاد ساقه، ضریب کشسانی ساقه و تنش برشی ساقه به ازای درصد های مختلف رطوبت ساقه در جدول (۲) آرائه شده است. در مطالعه حاضر حداقل تنش برشی اعمالی به تیغه‌ها در چهار سطح رطوبتی ۱۰٪، ۲۰٪، ۴۰٪ و ۸۰٪ بررسی شد و مقدار تنش موردنظر به لبه تیغه‌ها و در راستای عمود بر تیغه‌ها اعمال گردید. قسمت متصل به تکیه گاه نیز توسط قید fix support در تمامی جهات محدود شد. پس از اعمال قیود و نیروهای واردشده از طرف ساقه، در نهایت تحلیل تنش بر اساس معیار ون میسز و میزان تغییر شکل حاصل از تیغه‌ها به دست آمد.



جدول ۱- خواص مکانیکی ساقه یونجه در سطوح مختلف رطوبتی (Galedar et al. 2008)

رطوبت (%)					پارامتر مورد بررسی
۸۰	۴۰	۲۰	۱۰		
۴/۰۴	۳/۶۶	۳/۴۶	۳/۴۱	قطر بزرگ ساقه یونجه (mm)	
۳/۸۹	۳/۳۹	۳/۱۱	۳/۱۱	قطر کوچک ساقه یونجه (mm)	
۱/۰۲	۰/۸۲	۰/۷۴	۰/۷	ضخامت دیواره ساقه (mm)	
۰/۶۳	۱/۵۵	۳/۰۴	۳/۵۱	مدول الاستیسیته (Gpa)	
۲۸/۱۶	۱۶/۳۱	۱۴/۵۸	۱۰/۸۴	تنش برشی (Mpa)	

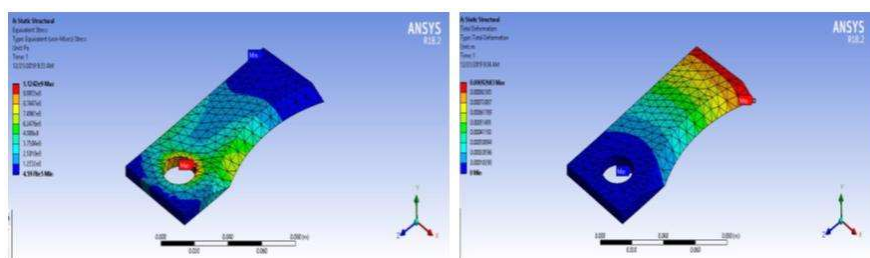
## نتایج و بحث

### تحلیل المان محدود تیغه‌ها

در این بخش نتایج تحلیل تنش و تغییر شکل تیغه‌ها به ازای مقادیر مختلف رطوبت در محصول به تفکیک انواع مختلف تیغه‌های مورد بررسی ارائه شده است.

### تیغه نوع اول

در فرآیند مدل‌سازی پس از اعمال قید و نیرو به تیغه‌ها، تغییر شکل حاصل از نیرو محاسبه و همچنین تحلیل تنش بر اساس معیار ون‌میزز به دست آمد. در شکل (۱-۳) نتایج تحلیل تنش و تغییر مکان تیغه توسط نرم‌افزار Ansys برای تیغه نوع اول نشان داده شده است. بررسی نتایج برای تیغه نوع اول نشان داد که بیشترین تنش ایجاد شده در لبه تیغه و در محل نزدیک به تکیه گاه مشاهده شد. چون در محل سوراخ روی تیغه، تیغه مقید شده و در عمل (شرایط واقعی) نیز تیغه در محل تکیه گاه با جسم فولادی (پین) در ارتباط است لذا طبیعی است که بیشینه تنش در این ناحیه ایجاد گردد. با بررسی نتایج تغییر شکل تیغه در نوک تیغه ایجاد شد. با توجه به اینکه تیغه همانند یک تیر طره‌ای است که بار جانبی گسترده به آن وارد شده است لذا کاملاً منطقی و طبیعی است که بیشترین تغییر شکل در ناحیه نوک تیغه (نوک تیر) ایجاد گردد. بیشینه تنش و تغییر مکان مشاهده شده در تیغه‌ها به ازای مقادیر مختلف رطوبت محصول رفتار یکسانی از محل وقوع بیشینه تنش و تغییر شکل نشان داد که در شکل (۳) فقط تغییر شکل و تنش بیشینه به ازای رطوبت ۱۰٪ محصول نشان داده شده است.



شکل ۳- تحلیل المان محدود تیغه نوع اول (راست: تغییر شکل. چپ: تحلیل تنش) به ازای رطوبت ۱۰٪ محصول



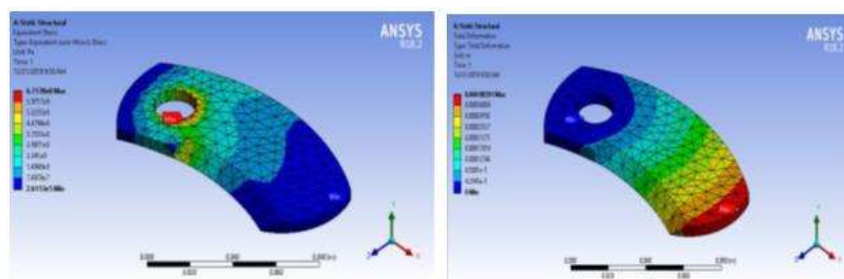
تحلیل تنش و تغییر شکل برای تیغه‌های نوع اول به ازای چهار رطوبت ۱۰٪، ۲۰٪، ۴۰٪ و ۸۰٪ محصول بررسی شد. تغییر شکل و بیشینه تنش ون میسر به ازای مقادیر مختلف رطوبت برای تیغه‌های نوع اول در جدول (۳) نشان داده شده است. همان‌طور که نتایج نشان می‌دهد با افزایش رطوبت محصول، میزان تنش بیشینه و تغییر شکل تیغه افزایش یافت.

جدول ۳- بیشینه تنش ون میسر و تغییر شکل در تیغه نوع اول به ازای مقادیر مختلف رطوبت محصول

درطوبت (%)	تنش ماکریم (MPa)	تغییر شکل (mm)
۰/۳۵۶۷۸	۴۳/۲۷۵	۱۰
۰/۴۷۹۸۷	۵۸/۲۰۶	۲۰
۰/۵۳۶۸۱	۶۵/۱۱۲	۴۰
۰/۹۲۶۸۳	۱۱۲/۴۲	۸۰

#### تیغه نوع دوم

نتایج تحلیل تنش و تغییر شکل برای تیغه نوع دوم در رطوبت ۱۰٪ محصول در شکل (۴) نشان داده شده است. نتایج به دست آمده برای تیغه نوع دوم از لحاظ محل رخداد بیشترین تغییر شکل و بیشینه تنش ون میسر مشابه تیغه نوع اول بود. بیشینه تغییر شکل در تیغه نوع دوم در نوک تیغه و بیشینه تنش ون میسر در لبه تکیه گاه مشاهده شد. نتایج بیشینه تغییر شکل و تنش بیشینه ون میسر برای رطوبت‌های مختلف تیغه نوع دوم در جدول (۴) آورده شده است. همان‌طور که مشخص است با افزایش رطوبت محصول میزان تغییر شکل تیغه و میزان تنش بیشینه ون میسر افزایش یافت.



شکل ۴- تحلیل الامان محدود تیغه نوع دوم (راست: تغییر شکل. چپ: تحلیل تنش) به ازای رطوبت ۱۰٪ محصول

جدول ۴- بیشینه تنش ون میسر و تغییر شکل در تیغه نوع دوم به ازای مقادیر مختلف رطوبت محصول

درطوبت (%)	تنش ماکریم (MPa)	تغییر شکل (mm)
۰/۱۴۷۴	۲۵/۸۶	۱۰
۰/۱۹۸۲۵	۳۴/۷۸۳	۲۰
۰/۲۲۱۷۸	۳۸/۹۰۹	۴۰
۰/۳۸۲۹۱	۶۷/۱۷۸	۸۰

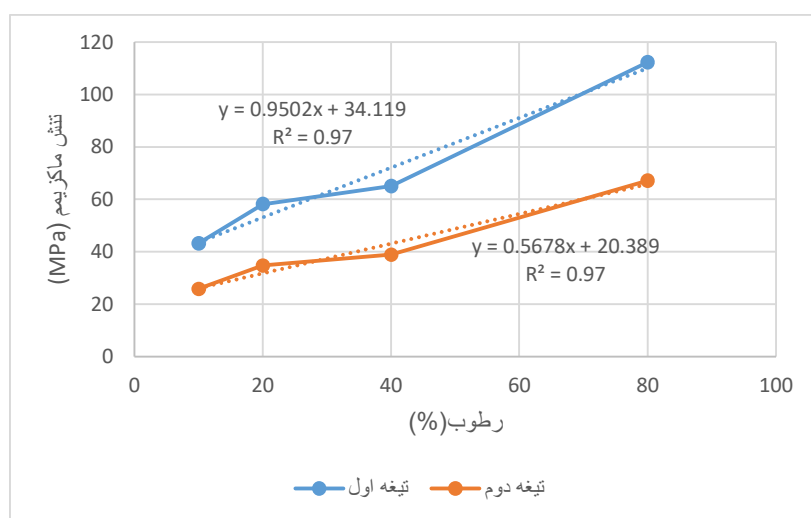
در تحقیقی گزارش کردند که مقدار رطوبت محصول اثر مهمی روی انرژی برش و حداکثر نیروی برشی دارد، به طوری که با افزایش رطوبت محصول انرژی برش افزایش خواهد یافت [۱۰]. در تحقیق دیگری [۱۱] گزارش کردند که رطوبت محصول سبب افزایش انرژی

موردنیاز برای برش ساقه محصولات علوفه‌ای خواهد شد. در تحقیقی که برای برش محصول نخود انجام دادند گزارش کردند که با افزایش رطوبت ساقه نخود ارزی لازم جهت برش محصول افزایش یافت [۱۲]. در تحقیق مشابهی که بر روی برنج انجام شد، گزارش کردند که با افزایش رطوبت محصول میزان ارزی برشی افزایش و تنفس ایجاد شده در تیغه افزایش خواهد یافت [۱۳]. بر این اساس هر چه رطوبت محصول بیشتر باشد، نیروی بیشتری برای برش ساقه محصول نیاز است؛ لذا تنفس و تغییر شکل ایجاد شده در تیغه‌ها بیشتر خواهد بود که با نتایج بدست آمده در تحقیق حاضر مطابق می‌باشد.

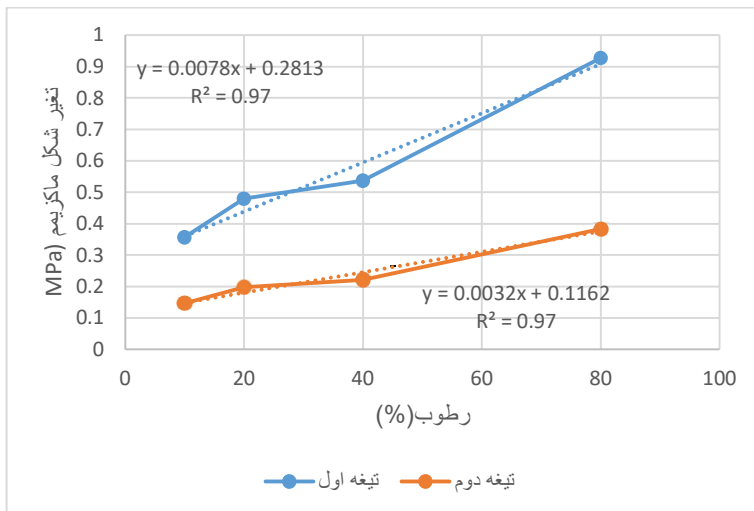
#### مقایسه بیشینه تنفس و تغییر مکان در تیغه‌ها

تأثیر رطوبت بر میزان ماکریمم تنفس وارد شده به تیغه‌های نوع اول و دوم در شکل (۵) مقایسه شده است. بررسی نتایج نشان می‌دهد که برای هر دو تیغه با افزایش رطوبت، میزان تنفس ماکریمم افزایش می‌یابد. همچنین در مقادیر رطوبت یکسان، میزان ماکریمم تنفس وارد شده به تیغه اول نسبت به تیغه نوع دوم بیشتر است. تیغه نوع اول وابستگی بیشتری به مقدار رطوبت محصول دارد، به طوری که با افزایش رطوبت شب تغییرات آن با شدت بیشتری افزایش یافت.

مقادیر جابجایی تیغه به ازای رطوبت‌های مختلف محصول برای هر دو نوع تیغه در شکل (۶) نشان داده شده است. با افزایش رطوبت محصول میزان تغییر مکان بیشینه تیغه‌ها نیز افزایش یافت. میزان تغییر مکان تیغه نوع اول به شدت به تغییرات رطوبت محصول وابسته است، اما برای تیغه نوع دوم مقدار تغییر مکان تیغه با افزایش رطوبت تغییر زیادی نکرد و شب نمودار برای تیغه نوع دوم نسبت به تیغه نوع اول خیلی کمتر است.



شکل ۵- تأثیر رطوبت بر ماکریمم تنفس برای تیغه‌های نوع اول و دوم



شکل ۶- تأثیر رطوبت بر ماکریتم تغییر شکل برای تیغه‌های نوع اول و دوم

در مجموع، بررسی نتایج نشان داد که اولاً میزان تغییر مکان و تنفس بیشترین در تیغه نوع اول بیشتر از تیغه نوع دوم است. ثانیاً تیغه نوع دوم وابستگی کمتری به میزان رطوبت محصول دارد و این موضوع دامنه کاربرد تیغه نوع دوم را بیشتر می‌کند. لذا نتایج استنباط شده از این بخش نشان دهنده برتری و اولویت تیغه نوع دوم بر تیغه نوع اول در برداشت محصول یونجه در رطوبت‌های مختلف است.

### نتیجه‌گیری

مدیریت برداشت اولین راهی است که تولید کننده می‌تواند توسط آن عملکرد، کیفیت تغذیه‌ای و بقای محصول را تحت تأثیر قرار دهد. دروغ‌گر استوانه‌ای که به آن دروغ‌گر دوار با محور عمودی و یا دستگاه یونجه چین نیز می‌گویند، متداول‌ترین وسیله برای برداشت یونجه در ایران است. یکی از عوامل موثر در عملکرد دروغ‌گر و میزان افت برداشت یونجه، طراحی تیغه برش است. در پژوهش حاضر دو نوع تیغه جدید برای دروغ‌گر استوانه‌ای با هدف بهینه‌سازی عملکرد دروغ‌گر استوانه‌ای در برداشت یونجه طراحی و مدل‌سازی شدن و رفتار تغییر شکل و تنفس در آن‌ها تحت تأثیر میزان رطوبت‌های مختلف محصول بررسی شد. بررسی نتایج نشان داد که اولاً میزان تغییر مکان و تنفس بیشترین در تیغه نوع اول بیشتر از تیغه نوع دوم است. ثانیاً تیغه نوع دوم وابستگی کمتری به میزان رطوبت محصول دارد و این موضوع دامنه کاربرد تیغه نوع دوم را بیشتر می‌کند. لذا نتایج استنباط شده از این بخش نشان دهنده برتری و اولویت تیغه نوع دوم بر تیغه نوع اول در برداشت محصول یونجه در رطوبت‌های مختلف است.

### منابع مورد استفاده

- مقصودی، م. ۱۳۸۵. اثر توده و مرحله برداشت بر عملکرد، کیفیت و گره بندی یونجه در شرایط اصفهان، پایان نامه کارشناسی ارشد، دانشکده کشاورزی، دانشگاه صنعتی اصفهان.
- آریان پور، ع.، عبدالی مشهدی، ع. ر.، رشنو، م. ح.، روزبهانی، آ.، شکاری، ش. و غفاری پرورش، م. ۱۳۹۷. تولید گیاهان علوفه‌ای. انتشارات شرکت چاپ و نشر کتاب‌های درسی ایران، چاپ اول، تعداد صفحات ۲۲۴.

- 3- Gan, H., Mathanker, S., Momin, M.A., Kuhns, B., Stoffel, N., Hansen, A. and Grift, T. 2018. Effects of three cutting blade designs on energy consumption during mowing-conditioning of Miscanthus Giganteus. *Biomass and Bioenergy*, 109: 166-171.
- ۴- طباطبایی کلور، ر.، برگی، ع.، علیمردانی، ر.، مبلی، ح.، و رجبی پور، ع. ۱۳۸۴. بررسی عوامل مؤثر بر نیرو و مقاومت بر بشی ساقه برنج. *مجله علوم کشاورزی*، جلد ۱۱، شماره ۲، صفحات ۲۷۷-۲۶۱.
- ۵- خزائی، ج.، ربانی، ح.، و گلباشی، ف. ۱۳۸۱. تعیین مقاومت بشی و نیروی کندن گل پیترروم. *مجله علوم کشاورزی ایران*، جلد ۳۳، شماره ۳، صفحات ۴۴۴-۴۳۳.
- ۶- محمدی استی، ب.، شیخی، ع. و کماریزاده، م.ح. ۱۳۸۶. ارزیابی دروغ بر شقابی و تحلیل تیغه‌های آن. سومین کنفرانس دانشجویی مهندسی ماشین‌های کشاورزی، دانشگاه شیراز، شیراز، ایران.
- ۷- طباطبایی کلور، ر. و هادی پور، ر. ۱۳۹۴. خصوصیات بشی، خمشی و فشاری ساقه نیشکر در قسمت‌های مختلف ساقه. *مهندسی زراعی*، جلد ۳۹، شماره ۱، صفحات ۸۰-۶۷.
- ۸- پوستی، ب. ۱۳۹۰. طراحی اجزای مکانیکی شیگلی، مولفین: ریچارد جی. بودیناس. و جی. کی. نیسبت. ویرایش دهم، چاپ اول، تعداد صفحات ۹۹۶.
- ۹- صدرنشاد، ا.ا. ۱۳۹۵. مقدمه‌ای بر روش اجزاء محدود. انتشارات دانشگاه صنعتی خواجه نصیرالدین طوسی، چاپ پنجم، تعداد صفحات ۶۶۶.
- 10- Prasad, J. and Gupta, C.P. 1975. Mechanical properties of maize stalk as related to harvesting. *Journal of Agricultural Engineering Research*, 20(1): 79-87.
- 11- Luo, S., Zhou, Y., Yi, C., Luo, Y. and Fu, J. 2014. Influence of the feed moisture, rotor speed, and blades gap on the performances of a biomass pulverization technology. *The Scientific World Journal*, Volume 2014, Article ID 435816, 5 pages <http://dx.doi.org/10.1155/2014/435816>
- 12- Dange, A.R., Thakare, S.K. and Rao, I.B., 2011. Cutting energy and force as required for Pigeon pea stems. *International Journal of Agricultural Technology*, 7(6):1485-1493.
- 13- Zhang, C., Chen, L., Xia, J. and Zhang, J. 2019. Effects of blade sliding cutting angle and stem level on cutting energy of rice stems. *International Journal of Agricultural and Biological Engineering*, 12(6): 75-81.

## **Stress and deformation modeling of two types of cutting blades for cylindrical mower in alfalfa harvest**

Yaser Karimi<sup>1</sup>, Jalal Khodaei<sup>2</sup>, Samira Zareei<sup>3,\*</sup>

1,2,3. Department of Biosystems Engineering, Faculty of Agriculture, University of Kurdistan, Sanandaj,  
Iran

### **Abstract**

A cylindrical mower, also known as a rotary harvester with a vertical axis or a hay harvester, is the most common means of harvesting alfalfa in Iran. One of the effective factors in harvester performance and alfalfa harvest loss is the design of the cutting blade. In the present study, two new types of blades including curved blade with curved edge and straight blade with curved edge were designed and modeled for cylindrical harvesters with the aim of optimizing the performance of cylindrical harvesters in alfalfa harvesting and deformation and stress behavior in them under the effect of different moisture levels of the product was investigated. The results showed that firstly, the amount of displacement and maximum stress in the right blade with a curved edge is more than the curved blade. Second, the curved blade with a curved edge is less dependent on the moisture content of the product, and this increases the scope of application of the curved blade. Therefore, the results of this study indicate the superiority and priority of the curved blade over the right blade in harvesting alfalfa at different humidity.

**Key words:** Crop moisture, forage harvest, physical-mechanical properties, stem shear strength.

\*Corresponding author  
E-mail: s.zareei@uok.ac.ir